

بررسی مراحل تولید نانوپودر با استفاده از روش sol-gel

هادی باصری^۱، علی حقیقی اصل^{۲*}، محمد نادر لطف الله^۲

۱- دانشگاه علوم پایه دامغان، دانشکده شیمی

۲- دانشگاه سمنان، دانشکده کی مهندسی، گروه مهندسی شیمی

چکیده

در این مقاله مراحل تولید نانو ذرات با روش sol-gel بررسی شده و سازوکارهای های پیشنهادی برای این فرایند، ارائه شده است. هم چنین شرایط عملیاتی و نوع حلال‌ها و مواد به کار رفته در این فرایند‌ها، برای تولید نانو پودر‌های مورد نیاز در صنعت آورده شده است. اثرات این حلال‌ها بر خصوصیات محصولات تولیدی نیز بررسی شده است. مراحل مختلف مورد نیاز برای تولید نانو مثال فلوراید‌های AlF_3 و MgF_2 و TiO_2 و $Al_2O_3-ZrO_2$ ، نانو مثال اکساید TiO_2 و Al_2O_3 - ZrO_2 متصل شده به منزیریم و باریم، مختصرآ توضیح داده شده است.

واژگان کلیدی: نانو مثال فلوراید، نانو کامپوزیت، روش sol-gel نانو تکنولوژی.

مقدمه

امروزه در بسیاری از صنایع، سعی بر این است که با کاهش ابعاد محصولات تولیدی، کارآیی آن‌ها را افزایش داده و با این عمل موجب بالارفتن بهره وری در واحد مربوطه شوند. نانوتکنولوژی علمی است که در راستای دست یابی به این هدف بنا نهاده شده و هدف آن تولید محصولاتی با کمترین ابعاد ممکن و بالاترین راندمان می‌باشد. در ابعاد نانومتری، قطر محصولات تولیدی با قطر اتم یا مولکول قابل مقایسه است ($1\text{ آنگستروم} = 10^{-9}\text{ نانومتر}$). برای ایجاد تصویری روشن از این مقیاس، توجه به این موضوع مفید است که اندازه‌ی ویروس آنفلوآنزا در حدود 100 نیکرومتر و یا 100 نانومتر می‌باشد. و به هم این دلیل است که مقیاس نانومتر در علوم مختلف به عنوان یک مقیاس مهم و کلیدی به حساب می‌آید.

خصوصیات ظاهری مواد در واقع مربوط است به 10^{-12} ذره که هم پیوسته از کوچک ترین واحد ممکن از آن ماده (اتم، مولکول، یون و غیره) و با خواص یک اتم تنها بسیار متفاوت است. برای نمونه یک قطعه آهن در حضور میدان الکتریکی خاصیت مغناطیسی می‌یابد و با قطع میدان این خاصیت از بین می‌رود ولی تنها با یک اتم آهن نمی‌توان چنین خاصیتی را تجربه کرد. طبق تعریف اندازه‌ی یک نانو ذره باید کمتر از 100 نانومتر باشد و این مقدار میانگینی است از اندازه‌ی یک اتم و اندازه‌های ماکروسکوپی. وقتی اندازه‌ی ذرات از یک مقدار خاص کوچکتر شود خواص آن با حالت ماکروسکوپی بسیار متفاوت خواهد بود و این تابعیت خواص با اندازه‌ی ذرات به دو دلیل مهم است : (الف) اثرات سطحی، (ب) اثرات حجمی.

الف - اثر مربوط به سطح ذرات به طور عمومی بر روی سطح اتم هر ماده صورت می‌گیرد و به سطح اتم ها بستگی دارد. برای مثال در مورد فلزات، به طور معمول عدد همسایگی برای یک اتم در بالک، برابر 12 می‌باشد. یعنی به طور معمول یک اتم در ساختار فلزی با 12 اتم دیگر همسایه است و با آن‌ها بر همکنش مستقیم دارد. ولی اتم‌های موجود در سطح فلز، عدد همسایگی پایین‌تری داشته و به اصطلاح از این نظر غیر اشباع اند و به دلیل پیوند‌های غیر اشباع این اتم‌ها سطح انرژی بالاتری از سایر اتم‌ها داشته و نسبت به اتم‌های دیگر فعال تر می‌باشند. در مورد مواد با اندازه‌های ماکروسکوپی نسبت این اتم‌های غیر اشباع به کل اتم‌ها بسیار کوچک است و بنا بر این اثرات غیر اشباع سطحی قابل لمس نیست. ولی در مورد ذرات با اندازه‌های نانومتری این نسبت اتم‌های سطحی به اتم‌های موجود در بالک بسیار افزایش یافته و در نتیجه، خصوصیات اتم‌های غیر اشباع سطحی بسیار محسوس بوده و در بسیاری موارد باعث تغییر در خصوصیات کلی ماده‌ی مورد نظرمی شوند و در نتیجه‌ی این خاصیت سطحی، چنین نانو ذراتی خاصیت جذب کنندگی بالایی دارند، در انتقال حرارت کاربرد ویژه‌ای داشته و به عنوان حسگر، کاربرد‌های زیادی در صنعت دارند.

ب - اثرات حجمی به سطح انرژی الکترون‌های پیوندی مربوط می‌شوند. برای مثال سطح انرژی الکترون‌های پیوندی در یک مولکول دو اتمی، به سادگی بر مبنای تئوری اوربیتال مولکولی توصیف می‌شود. (با تعریف اوربیتال‌های مولکولی پیوندی

و غیر پیوندی) ولی برای توصیف سطح انرژی در حالت سه بعدی و ماکروسکوپی، نظریه نوارهای انرژی مفیدتر و کاربردی تر از تئوری قبل است. بر طبق این نظریه سطح انرژی خاصی برای یک الکترون تنها درون مولکول وجود ندارد و یک الکترون درون اتم می‌تواند در یک میدان متغیر انرژی واقع شود. حال اگر از یک جامد که با چنین مدلی تعریف می‌شود، شروع کنیم و اندازه ی ذرات جامد را مرحله کوچک کنیم، نهایتاً به نقطه‌ای می‌رسیم که اندازه ی ذرات جامد به حدود اندازه ی نوارهای انرژی بیان شده می‌رسد. (مثلًا برای سیلیسیم این مقدار برابر $41/5$ نانومتر می‌باشد) و از این نقطه به بعد خواص الکتریکی یک ماده کاملاً با حالت ماکروسکوپی آن متفاوت خواهد بود (اگرچه ممکن است بسیاری از خواص شیمیایی ثابت بمانند).

به طور تجربی مشاهده شده است که با کاهش اندازه ی ذرات فعالیت آن‌ها افزایش می‌یابد و این نشان دهنده ی صحت دو پدیده ی بیان شده است. باید توجه داشت که ساخت نانو ذرات کار ساده‌ای نیست زیرا از لحاظ ترمودینامیکی پایداری ذرات و کریستال‌های بزرگ‌تر بسیار بیشتر از نانوذرات و نانوکریستال‌ها است.

روش‌های مختلفی برای ساخت نانو پودرها و از جمله نانو فلوراید‌های فلزی، نانو کامپوزیت‌ها و ... ارائه شده است که می‌توان آن را به دو گروه فیزیکی و شیمیایی تقسیم بندی کرد. از جمله روش‌های فیزیکی می‌توان به موارد زیر اشاره کرد:

✓ میعان نانو مواد از یک فاز بخار مناسب مانند PbF_2 [۱].

✓ خرد کردن مکانیکی مانند FeF_3 و GaF_3 [۲].

✓ استفاده از لیزر برای جداسازی و خرد کردن (پراکنش لیزری)^۱ مانند NaF [۳].

✓ استفاده از molecular-beam epitaxy برای پوشش‌ها [۴].

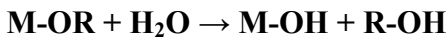
اما از روش‌های شیمیایی (که در طول ۵ سال اخیر بسیار مورد توجه قرار گرفته‌اند) می‌توان به مواردی چون پیرولیز شیمیایی و روش موسوم به ژل (gel) - مایع (sol) اشاره کرد. روش sol-gel یکی از روش‌های بسیار مهم در تولید مواد با اندازه‌های نانو می‌باشد این روش برای ساخت کامپوزیت‌های با پایه‌ی سرامیکی و نانو متال اکسیدها و متال فلوراید‌ها، با اندازه‌ی ذرات مناسب ارائه شده است. در این مقاله به شکلی مختصر به بررسی چگونگی انجام این فرایند پرداخته و ضمن ارائه‌ی سازوکاری برای انجام آن، مثال‌هایی نیز از نحوه‌ی ساخت چند نانو پودر مهم (انواع نانو فلوراید‌های فلزی و نانو کامپوزیت‌ها) ارائه شده است.

سازوکار کلی روش sol-gel

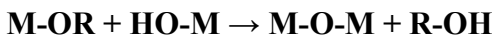
به طور کلی تولید نانوذرات با روش sol-gel را می‌توان با واکنش دو گروه مtal هیدرواکسید به شکل زیر توصیف کرد [۵]:



برای کنترل سرعت این واکنش و هم چنین جلوگیری از ایجاد مولکول های واکنش نداده در محصول و جلوگیری از واکنش های نامطلوب، بهتر است به جای استفاده از متال هیدرو اکسید از گروه های متال آلک اکسید استفاده شود. با این روش با کنترل سرعت واکنش ابتدایی یعنی:



(با استفاده از PH، نوع آلک اکسید، دما و غلظت) می توان سرعت واکنش اصلی را کنترل کرد. به صورت کلی واکنش در این حالت به شکل زیر نوشته می شود :

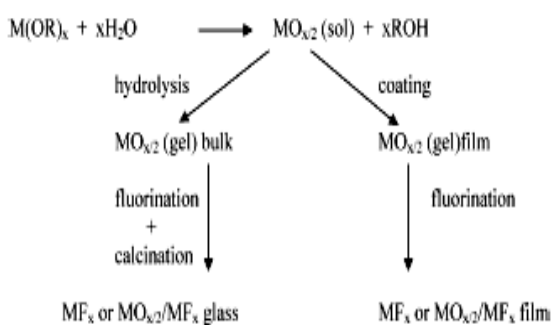


با استفاده از این روش با شروع از مواد اولیه و حلال های کاملاً مایع، محصول نهایی به شکل ژل به دست می آید که به طور متوسط از ۸۵٪ حلal و ۱۵٪ جامد تشکیل می شود.

واکنش های شیمیایی تولید نانو فلوراید های فلزی

-۱ واکنش post-fluorination : این واکنش که از طریق روش sol-gel انجام می گیرد برای تولید نانو اکسید های فلزی به کار می رود و روش کلی آن در شکل ۱ نشان داده شده است. محدوده وسیعی از نانو فلوراید های فلزی چه به شکل خالص و چه به شکل اکسو فلوراید ها (فلوراید های فلزی متصل شده به اتم های دیگر) با این روش قابل تولید هستند و به ویژه خصوصیات نوری محصولات در این روش مورد توجه قرار می گیرد [۶، ۷، ۸]. ولی بزرگترین مشکل این روش تولید گاز HF و سایر گاز های سمی در حین فرایند کلسینه شدن است.

-۲ تولید تری فلوریو استات های فلزی: در این روش، آلک اکسید فلزی حل شده در یک الکل با محلول تری فلوریو استیک اسید واکنش داده و نتیجه ای این واکنش تولید تری فلوریو استات های فلزی خواهد بود. این ماده در موارد مختلفی کاربرد دارد، از جمله برای پوشش ها (همراه با خشک کردن و تجزیه حرارتی)، تولید اکسو فلوراید ها، تولید متال فلوراید ها و در بسیاری موارد تولید مخلوطی از اکسید ها و فلوراید ها. شکل ۲ شمای کلی این فرایند را نشان می دهد. این روش نیز مانند روش قبل قابلیت تولید بسیاری از نانو متال فلوراید ها را دارد. مهم ترین مشکل این روش



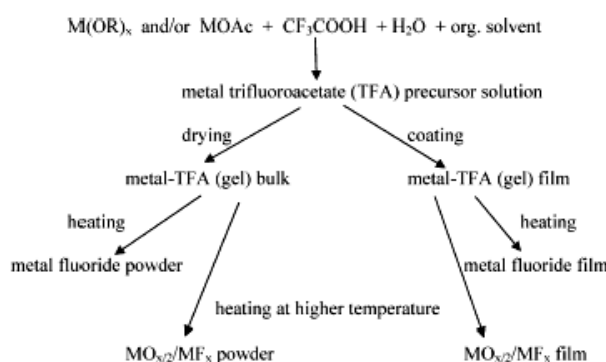
شکل ۱، تولید متال فلوراید و یا متال اکسید ها با واکنش Post-fluorination و از روش Sol-gel

برای تولید نانو فلزات، تشکیل ناخواسته‌ی سیستم‌های چند فازی است. همچنین امکان افزایش اندازه‌ی نانوذرات تری فلوئورو استات به خاطر دمای بالا در مرحله‌ی تجزیه‌ی حرارتی، وجود دارد. این روش در سال‌های اخیر توسط فوجیهارا و گروهی دیگر از محققین، بسیار توسعه یافته است [۹].

روش تولید نانو پودر با سازوکار sol-gel غیرآبی

تولید نانو پودر‌های مختلف با استفاده از سازوکار sol-gel، در مقالات گوناگون بررسی شده است [۱۰-۱۸]. سازوکار کلی این روش که با یک آلک اکسید فلزی شروع می‌شود در شکل ۳ آورده شده است. البته این واکنش با ترکیبات دیگری نیز می‌تواند شروع شود [۱۱-۱۳] که در ادامه به آن خواهیم پرداخت. در این روش ابتدا آلک اکسید را در الکل یا یک محلول غیرآبی دیگر حل کرده و سپس مقادیر مشخصی از HF را در الکل و یا دی‌اتیل اتر حل کرده و این دو را به هم می‌افزاییم، بسته به نوع فلز به کار رفته و غلظت محلول‌های مورد استفاده، فاز ژلاتینی (gel) تشکیل می‌شود. حال می‌توان از این ماده‌ی ژلاتینی به عنوان پوشش‌ها استفاده کرد (با انجام مراحل اضافی) و یا برای تولید پودر جامد متال فلوراید آن را خشک کرد. در حالاتی که از یون‌های فلزی با خاصیت اسیدی (لوبیس) بالا استفاده شود، مانند Al^{3+} ، برای رسیدن به خلوص مورد نظر و جزء سطحی بالا، مواد و پودر خشک شده نیاز به یک مرحله‌ی پالایش اضافه دارند و آن تصفیه با گازی با عامل فلوئوره کننده در دماهای نه چندان بالا می‌باشد [۱۰، ۱۴، ۱۸].

غلظت آلک اکسید فلزی به کاررفته تاثیر زیادی بر روی خصوصیات محصول نهایی ندارد و فقط ژل به دست آمده با افزایش غلظت اولیه سفت‌تر و غلیظ‌تر می‌شود. برای مثال در تولید AlF_3^{+3} اگر نسبت $\text{AlF}_3 : \text{HF}$ را از ۱:۲ به مقدار ۱:۴ برسانیم بی‌شک به دست می‌آید.



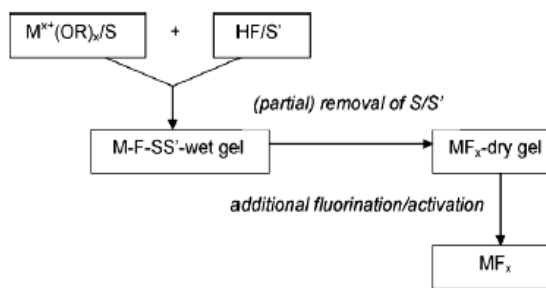
شکل ۲، تولید متال فلوراید‌ها از متال فلورورو استات با روش Sol-gel و به همراه فرایند شکست حرارتی [۵].

نوع گروه آلک اکسید و نوع حلال به کار رفته تاثیر بیشتری را بر روی واکنش مورد نظر داشته و هر چه گروه آلک اکسید سنگین تر شود سطح ویژه‌ی محصول افزایش یافته ولی اسیدیتۀ تغییر زیادی نمی‌کند مثلاً اگر واکنش به جای شروع با (Al) شروع شود، سطح ویژه‌ی محصول از $(Al-nBuOH)$ و یا $(Al\text{-isoproxide})$ $(Al\text{-}^iPrOH)$ $(Al\text{-methoxide})$ $(MeOH)$ با (AlF_3) به دست آمده از 200 متر مربع بر گرم) تا حدود 320 متر مربع بر گرم) افزایش می‌یابد ولی میزان خاصیت اسیدی در AlF_3 به دست آمده از نمونه‌های مختلف تقریباً مشابه خواهد بود. در صورتی که از مтанول به عنوان محیط واکنش استفاده شود محصول نهایی بیشتر حالت مایع دارد تا اینکه حالت ژلاتینی داشته باشد. برای خشک کردن و به دست آوردن محصول نهایی باید ژل مرطوب را در دماهای معمولی، حدود $70^\circ C$ ، با استفاده از خلاء خشک کرده و یا از خشک کردن انجام‌دادی استفاده شود[۱۵].

بازیابی مکان‌های فعال

برای بازیابی مکان‌های فعال نانوپودر و در واقع جداسازی آلودگی‌های آلی از سطح ذرات، حرارت دادن پودر مربوطه درون یک گاز معمولی خنثی چندان مفید نیست. بلکه باید پودر درون جریان گازی با عامل فلوئوره کننده حرارت داده شود[۱۴، ۱۸] [۱۰].

این فرآیند در واقع نوعی فعال سازی می‌باشد زیرا مثلاً ژل غیر فعال شده‌ی $Al\text{-}F$ خشک، در اثر این فرایند به یک کاتالیست بسیار فعال تبدیل می‌شود.



شکل ۳، مکانیزم تولید متال فلوراید با روش sol-gel غیر آبی[۱۵].

مشخصات و شرایط عملیاتی بهینه برای این فرایند، در مرجع [۱۸] آورده شده است. علاوه بر گاز HF که یکی از مهم‌ترین عوامل فلوئوره کننده است، تحقیقات نشان داده که از فلوئوروکربن‌هایی چون $CHClF_2$, CCl_2F_2 و ... نیز می‌توان در این زمینه استفاده کرد. در صورت استفاده از گاز‌هایی چون CH_2FCF_3 و CH_2F_2 به عنوان عامل فلوئوره کننده، مقدار کمی کربن بر روی سطح نانو ذرات مشاهده شده است و لازم به یاد آوری است که برای انجام این فرآیند عواملی چون دما و غلظت گاز باید بهینه شوند.

گاز HF یکی از ساده ترین و مهم ترین عوامل فلوروره کننده است که به دلیل فعالیت بالای HF در دماهای به نسبت پایین امکان دست یابی به سطح ویژه‌ی بسیار بالا در پودر خشک شده فراهم می‌آورد. به عنوان نمونه برای فلوروره کردن AlF_3 با HF بهتر است از غلظت پایین HF در دمای 120°C استفاده کرد که در این شرایط $\text{HS-AlF}_3/\text{HF}$ با سطح ویژه‌ی بسیار بالا و میزان بسیار کم کربن به دست می‌آید. در صورتی که برای استفاده از CCl_2F_2 باید دما در حدود 300°C بوده و در این شرایط سطح ویژه‌ی محصولات به حدود $(200-300)$ مترمربع بر گرم) خواهد رسید.

سازوکار تولید AlF_3

اگر چه تلاش برای درک کامل سازوکار تولید نانوذرات از جمله AlF_3 با روش sol-gel ادامه دارد، اما تئوری‌هایی نیز برای توصیف این واکنش ارائه شده است. برای نمونه طبق نظر گروهی از محققین [۱۴]، واکنش کلی آلومینیوم آلک اکسید با حل شده درون ایزو پروپانول، $\text{Pr}^{\text{I}}\text{HO}$ ، را می‌توان به شکلی ساده به صورت یک واکنش جایگزینی هسته دوست فرض کرده که در این واکنش F جایگزین OR می‌شود. صورت کلی این واکنش را می‌توان به شکل زیر نمایش داد:



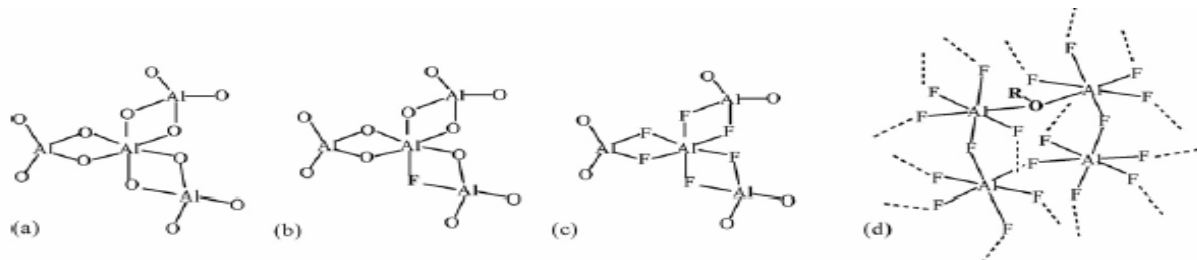
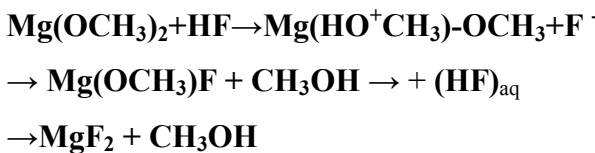
نانوذرات AlF_3 ، خود از چندین مولکول AlF_3 تشکیل شده اند که در مجموع یک شبکه‌ی کریستالی را تشکیل می‌دهند. شکل ۴ به صورت نمادین، تبدیل مولکول‌های چهارتایی (tetrameric) آلومینیوم ایزو پرواکسید به ساختار پلیمری آلومینیوم فلوراید را نشان می‌دهد. برای اطلاع بیشتر از ساختار‌های این مولکولها و نحوه‌ی انجام این واکنش زنجیره‌ای به مرجع [۱۴] مراجعه شود.

تولید $\text{Mg}-\text{F}_2$ با روش sol-gel غیر آبی

کریشنا مورتی و همکارانش [۱۵] نانوپودر MgF_2 را با روش sol-gel تولید کرده‌اند. طبق نظر این محققین روش فوق برای تولید این نانوپودر که کاربردهای صنعتی زیادی به عنوان کاتالیست دارد، بسیار مناسب است و با این روش می‌توان به سطح ویژه‌ای در حدود $(350-150)$ مترمربع بر گرم) رسید. این محققین $\text{Mg}(\text{OMe})_2.2\text{MeOH}$ را در دمای پایین (با استفاده از راکتور همراه با وسایل سرمایا) به همراه هم زدن مداوم و با اضافه کردن مقدار استوکیومتری HF درون MeOH با خلوص بالا، حل کرده اند تا محلولی زلال به دست آید که ویسکوزیته‌ی آن به غلظت پودر حل شده بستگی دارد. این محلول با غلظت پایین و ویسکوزیته‌ی کم برای مواردی چون پوشش‌ها کاربرد دارد. برای دست یابی به نانوپودر جامد، با خشک کردن ژل ویسکوز و مرطوب تحت خلاء و دماهای بالاتر از 70°C جامد سفید رنگی که شامل بعضی مواد آلی نیز هست، به دست می‌آید که برای به دست آوردن محصول نهایی درست به مانند AlF_3 باید این جامد سفید رنگ را فلوروره کرد. برای این کار از جریان گاز N_2 با

غلظت کم HF و یا CCl_2F_2 یا CHCl_2F_2 استفاده شده است. در دماهای حدود 250°C و در یک راکتور لوله ای، محصول HS-MgF_2 به شکل یک پودر جامد سفید رنگ به دست آمده است.

در مورد سازکار تولید این نانو پودر نیز می توان گفت که مرحله‌ی کنترل کننده‌ی سرعت، پروتون دار شدن اکسیژن آلک اکسید به وسیله‌ی آئیون فعال H_2O^+ CH_3^+ می باشد. که این آئیون خود از واکنش HF و متانول موجود در محیط به وجود می آید. صورت کلی این واکنش را می توان به شکل زیر نوشت:



شکل ۴، مدل ساختاری مولکول های (a) ، $\text{Al}_4(\text{O}^{\text{i}}\text{Pr})_{12}$ ، (b) : حالت نیمه فلوره شده i ، (c) : حالت واسطه o ، (d) : آلك اکسید کاملا فلوره شده [۱۴].

تولید $\text{Al}_2\text{O}_3-\text{ZrO}_2$ با روش sol-gel

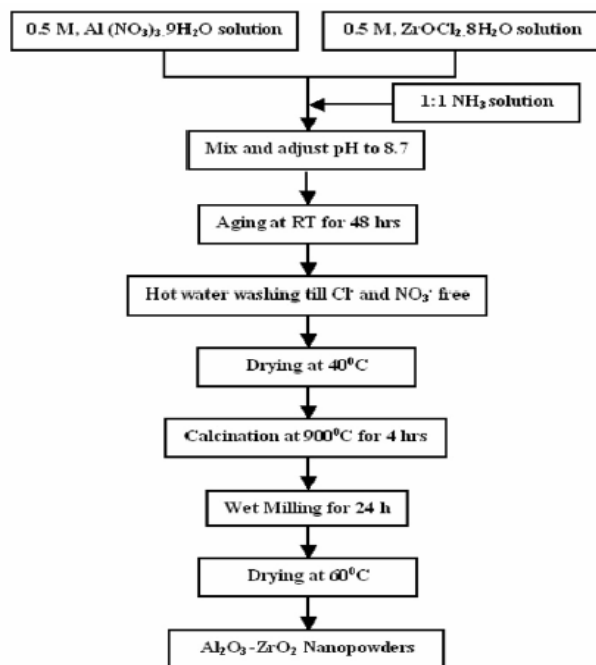
سرامیک زیرکونیا متصل شده به آلمینا ($\text{Al}_2\text{O}_3-\text{ZrO}_3$) یک کامپوزیت ارزشمند است که با توجه به استحکام بالا و مقاومت پوششی مناسب در دمای معمولی، کاربردهای زیادی در صنعت پیدا کرده است. سارکار و همکارانش [۱۹]، این نانوکامپوزیت سرامیکی را با روش sol-gel تولید کرده و خواص مختلف آن را بررسی کرده اند. برای تولید این نانو کامپوزیت ارزشمند از محلول های آبی $\text{ZrOCl}_2 \cdot 8\text{H}_2\text{O}$ و $\text{Al}(\text{NO}_3)_3 \cdot 9\text{H}_2\text{O}$ به عنوان مواد اولیه استفاده شده است. برای ساخت مخلوط ژلاتینی مرطوب، محلول NH_3 را با نسبت ۱:۱ به مخلوط قبلی اضافه کرده و در دمای ثابت 25°C به صورت مداوم نمونه را به هم زده اند. در این شرایط ویسکوزیته‌ی محلول آرام افزایش یافته و در نهایت به جایی می رسمیم که روند رشد ویسکوزیته بسیار کند شده و PH محلول به حدود ۸/۷ می رسد. سپس ژل به دست آمده را به مدت ۴۸ ساعت در دمای اتاق گذاشته و بعد برای جدا کردن ناخالصی‌ها آن را با آب مقطر شسته و فیلتر کرده و کیک فیلتر شده را در دمای 40°C و به مدت ۴۸ ساعت خشک کرده اند.

در مرحله‌ی بعد ژل خشک شده در یک کوره‌ی بسته در دمای 900°C و به مدت ۴ ساعت درون هوا کلسینه شده و سپس در بالک استن آسیاب شده است (درون یک بطری از جنس پلی اتیلن سنگین با توب‌های زیرکونیا با خلوص بالا و به مدت ۲۴ ساعت). پودر به دست آمده از این مرحله دوباره در دمای 40°C خشک شده است. شکل ۵ روند نمای^۳ ساخت این نانو پودر را نشان می‌دهد. (پودر به دست آمده با این روش از $95\text{Al}_2\text{O}_3\text{-}5\text{ZrO}_2$ (%mol) تشکیل شده است)

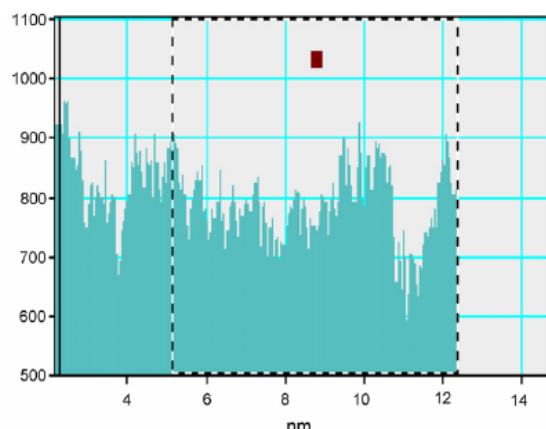
تولید TiO_2 خالص و TiO_2 متصل شده به Ba^{2+} و Mg^{2+} :

N.Venkatachalam و همکارانش [۲۰] با کمک روش sol-gel، نانو ذرات TiO_2 متصل شده به منیزیم و برم را ساختند و خصوصیات این ذرات تولید شده را با کمک تست‌های مختلف بررسی کردند. این محققین برای ساخت نانوذرات بیان شده، ابتدا (۱۸/۶ میلی لیتر) تیتانیوم ۴ ایزوپروکسید را با کمک (۳۵/۸ میلی لیتر) اسید استیک بدون آب و در دمای صفر درجه‌ی سانتی گراد هیدرولیز کرده و سپس (۳۹۵ میلی لیتر) آب را به محلول حاصل افزوده و به مدت یک ساعت آن را هم زده اند تا محلولی زلال از نانو کریستال‌های TiO_2 حاصل شود. محلول حاصل برای مدت ۱۲ ساعت در جایی تاریک نگه داری شده تا در اثر پدیدهٔ هسته زایی، هسته‌های مورد نیاز برای تولید نانو پودر در آن تشکیل شوند. پس از آن محلول را به مدت ۱۲ ساعت در آن با دمای 70°C نگهداری کرده تا حالت ژلاتینی ایجاد شود. ژل به دست آمده را در دمای 100°C خشک کرده و به این ترتیب پودر مورد نیاز به دست می‌آید. برای کلسینه کردن این پودر، آن را به مدت ۵ ساعت و در کوره‌ای با دمای 500°C نگه داری کرده اند. به این ترتیب نانو ذرات TiO_2 به دست آمده است. برای متصل نمودن یون‌های Ba^{2+} و Mg^{2+} به نانوپودر TiO_2 ، فرایند مشابهی انجام گرفته است، با این تفاوت که نیترات منگنز و یا نیترات باریم را با غلظت‌های ($۰/۳$ تا $۰/۰$ درصد مولی) به ۳۹۵ میلی لیتر آب اولیه اضافه کرده اند.

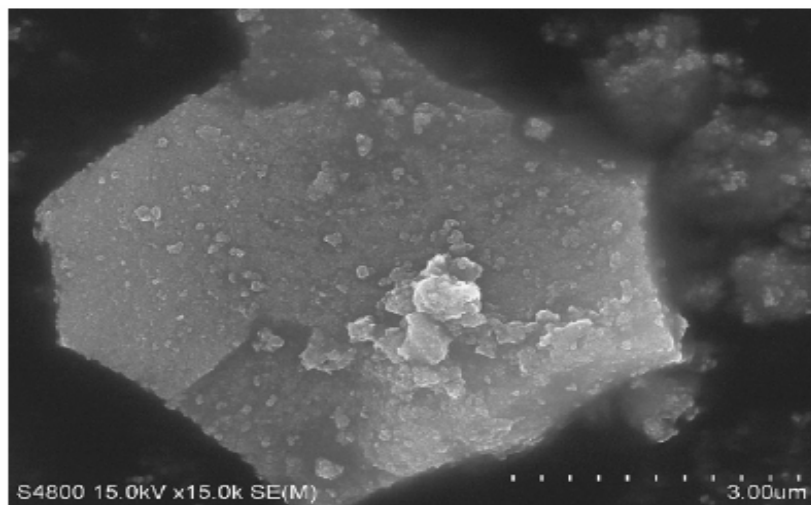
شکل ۶ هیستوگرام مربوط به توزیع اندازه‌ی ذرات برای نانوپودر TiO_2 متصل شده به Mg^{2+} با غلظت ۱٪ مولی و کلسینه شده در دمای 500°C را نشان می‌دهد. هم‌چنین شکل ۷ تصویری از نانوپودر TiO_2 متصل شده به Ba^{2+} با غلظت ۱٪ مولی و کلسینه شده در دمای 500°C را نشان می‌دهد که با میکروسکوپ الکترونی گرفته شده است.



شکل ۵. روند نمای فرآیند تولید نانو کامپوزیت [۱۹]Al₂O₃-ZrO₂



شکل ۶. هیستوگرام توزیع اندازه‌ی ذرات برای نانو TiO₂ متعلق شده به Mg²⁺ با غلظت ۱٪ مولی و کلسینه شده در دمای ۵۰۰°C [۲۰]



شکل ۷، نانو TiO_2 متصل شده به Ba^{2+} با غلظت ۱٪ مولی و کلسینه شده در دمای ۵۰۰°C.[۲۰]

مراجع:

- [1] P. Thangadurai, S. Ramasamy, R. Kesavamoorthy, *J. Phys.: Condens. Mater.* 17 (2005) 863–874.
- [2] H. Gue'rault, J.M. Greneche, *J. Phys.: Condens. Mater.* 12 (2000) 311–322.
- [3] T.S. Korolyova, M.M. Kidibaev, B.K. Dzholdoshov, *J. Phys. Stat. Sol.* 47 (2005) 1417–1419.
- [4] G.G. Condorelli, S. Gennaro, I.L. Fragata, *Chem. Vapour Depos.* 7 (2001) 151–156.
- [5] S. Ru'diger, U. Groß, E. Kemnitz *Journal of Fluorine Chemistry* 128 (2007) 353–368.
- [6] H.-X. Mai, Y.-W. Zhang, R. Si, Z.-G. Yan, L. Sun, L.P. You, C.-H. Yan, *J. Am. Chem. Soc.* 128 (2006) 6426–6436.
- [7] J. Labeguerie, P. Gredin, J. Marot, A. De Kozak, *J. Solid State Chem.* 178 (2005) 3197–3205.
- [8] H. Naito, S. Fujihara, T. Kimura, *J. Sol-Gel Sci. Technol.* 26 (2003) 997–1000.
- [9] S. Fujihara, *Recent Res. Dev. Mater. Sci.* 3 (2002) 619–631.
- [10] E. Kemnitz, U. Groß, St. Ru'diger, S.C. Shekar, *Angew. Chem. Int. Ed.* 42 (2003) 4251–4254.
- [11] J.K. Murthy, U. Groß, St. Ru'diger, E. U' nveren, E. Kemnitz, *J. Fluorine Chem.* 125 (2004) 937–949.
- [12] J.K. Murthy, U. Groß, St. Ru'diger, E. Kemnitz, *Appl. Catal. A* 278 (2004) 133–138.
- [13] J.K. Murthy, U. Groß, St. Ru'diger, E. U' nveren, W. Unger, E. Kemnitz, *Appl. Catal. A* 282 (2005) 85–91.
- [14] St. Ru'diger, U. Groß, M. Feist, H.A. Prescott, S.C. Shekar, S.I. Troyanov, E. Kemnitz, *J. Mater. Chem.* 15 (2005) 588–597.
- [15] J.K. Murthy, U. Groß, St. Ru'diger, E. Kemnitz, J.M. Winfield, *J. Solid State Chem.* 179 (2006) 739–746.
- [16] H. A. Prescott, Z. J. Li, E. Kemnitz, J. Deutsch, H. Lieske, *J. Mater. Chem.* 15 (2005) 4616–4628.

- [17] M. Ahrens, G. Scholz, M. Feist, E. Kemnitz, Solid State Sci. 8 (2006) 798–806.
- [18] St. Ru̇diger, G. Eltanany, U. Groß, E. Kemnitz, J. Sol-Gel Sci. Technol. 41 (2007) 299–311.
- [19] D. Sarkar, S. Adak, N.K. Mitra, Composites: Part A 38 (2007) 124-131.
- [20] N. Venkatachalam, M. Palanichamy, V. Murugesan, Journal of Molecular Catalysis A: Chemical 273 (2007) 177–185.